

Update simulazioni

Lorenzo Viliani (INFN Firenze)

18/05/2020

Update

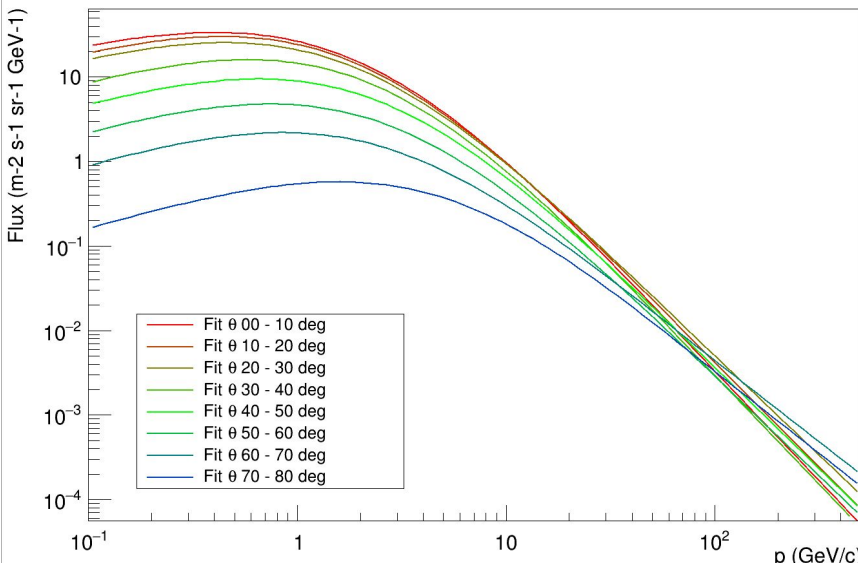
- Generatore di muoni
 - Aggiornato con i parametri dei fit di Lorenzo B
 - Controllo dei fit in θ ad impulso fissato
 - Primi test con range in impulso esteso a 500 GeV
- Simulazione della diga di Bilancino
 - Geometria di Olek implementata in GGS
 - Posizionamento rivelatore, superficie di generazione, ...
 - Simulazioni di controllo

Generatore di muoni

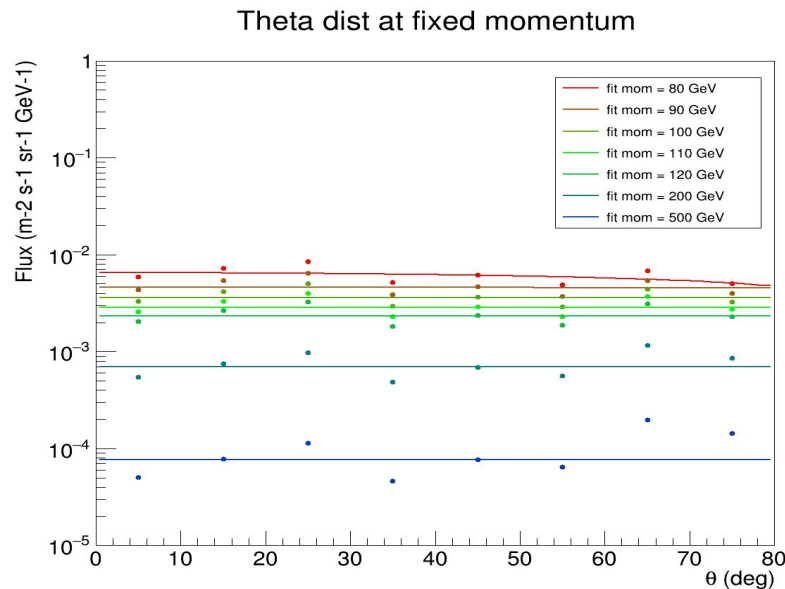
- Formule utilizzate

- $\text{Flux}_\theta(p) = A_0 [p + A_1 e^{-A_2 p}]^{-(A_3+A_4)} p^{A_4}$
- $B_0 (\cos(\theta))^{B_1}$

`[0]*pow((x+[1]*pow(TMath::E(),(-[2]*x))),-[3]+[4])*pow(x,[4])`

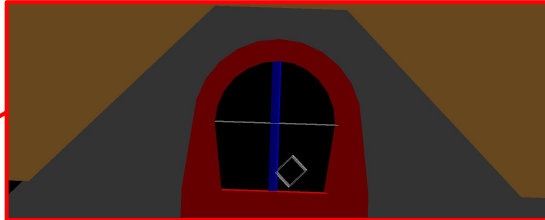
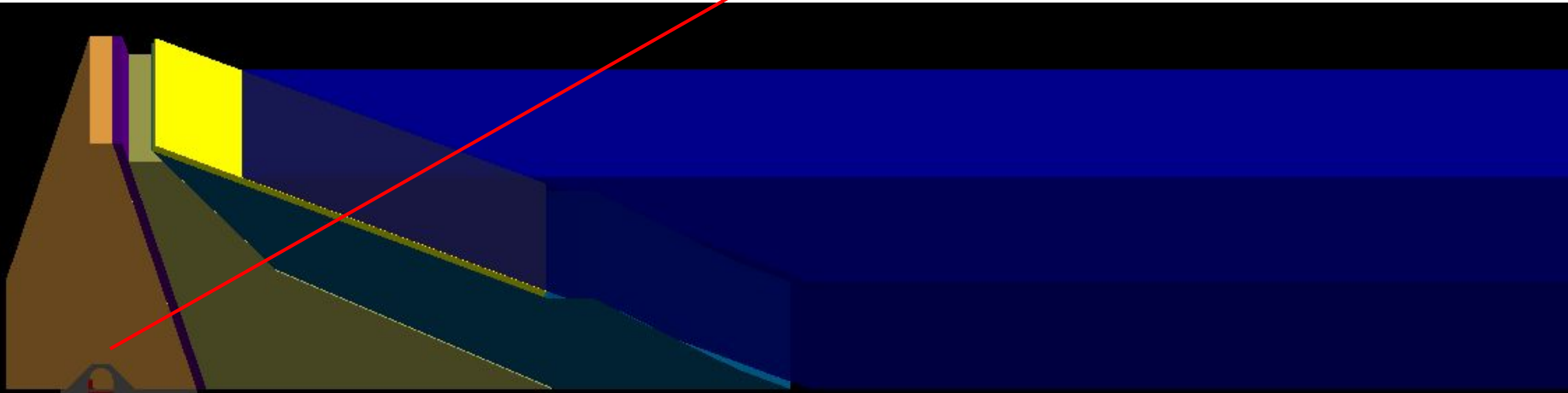


Lorenzo Viliani



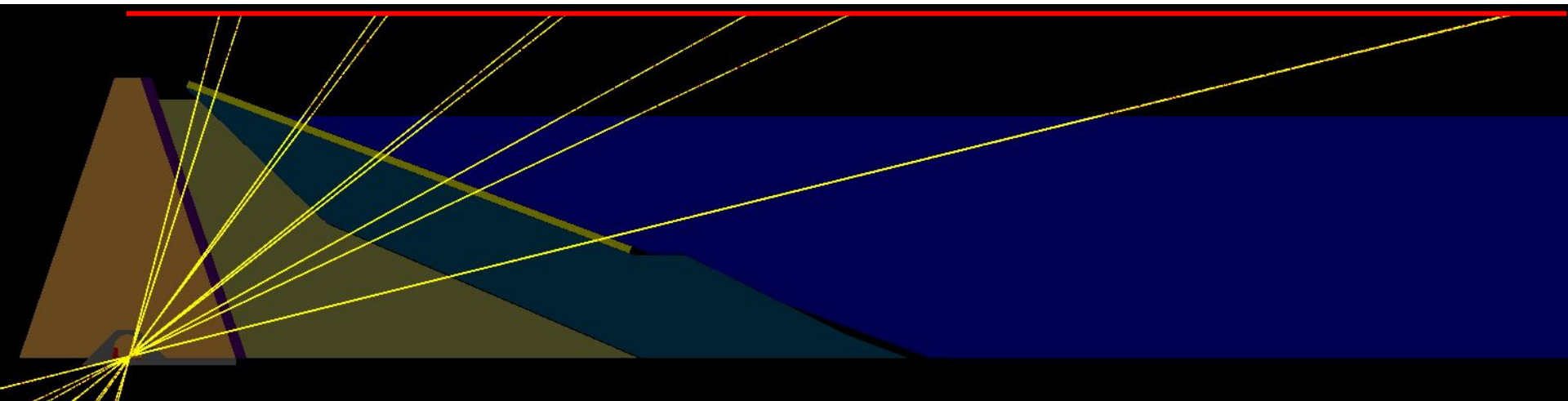
Simulazioni Bilancino

- Geometria della diga
 - Rivelatore posizionato all'interno del tunnel



Simulazioni Bilancino

- Superficie di generazione (vista x-z)
 - Superficie orizzontale a quota z = 50 m
 - Dimensioni: 250 m lungo x e 300 m lungo y

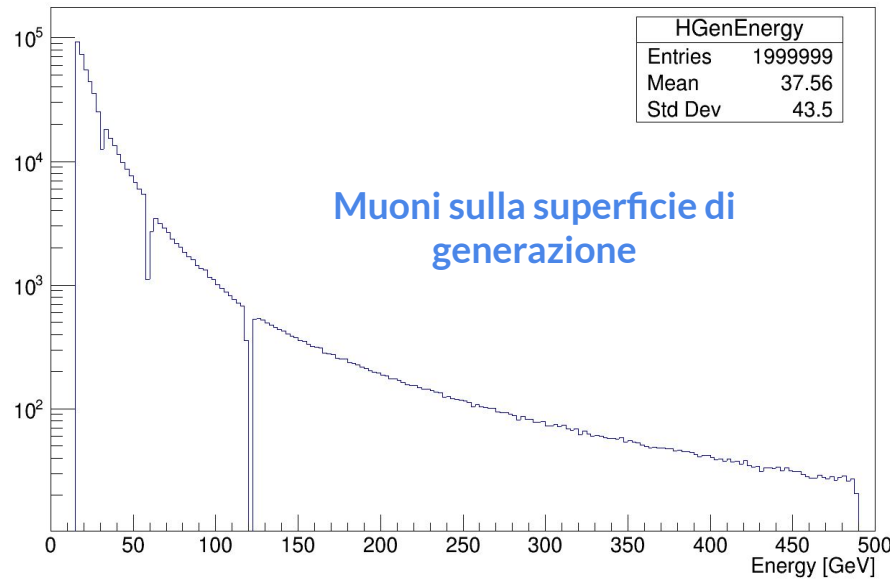


Simulazioni Bilancino

- Range di impulso dei muoni

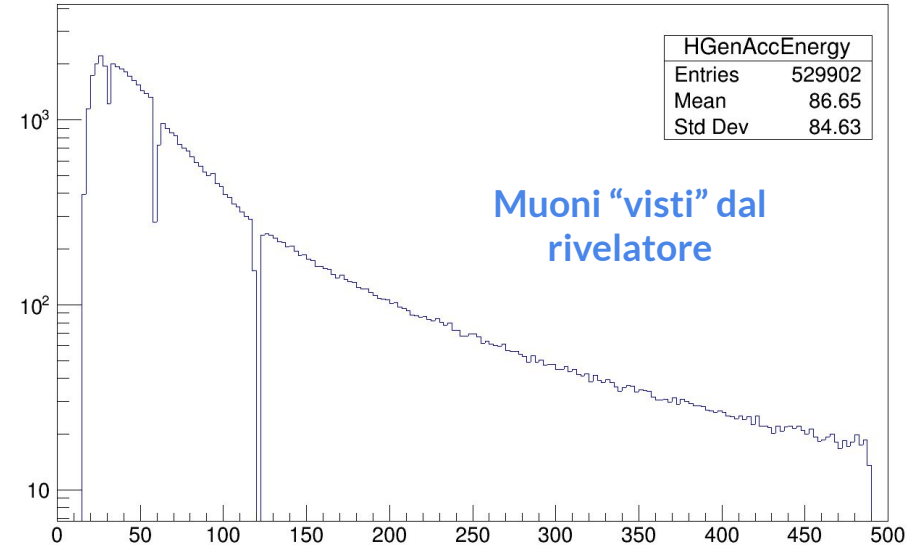
- Muoni con $p < 15$ GeV non raggiungono il rivelatore
- NB: vengono simulati solo i muoni che inizialmente "puntano" nelle vicinanze del rivelatore.
- Simulazioni in range di impulso per aumentare la statistica nelle code ad alta energia

GEN Energy



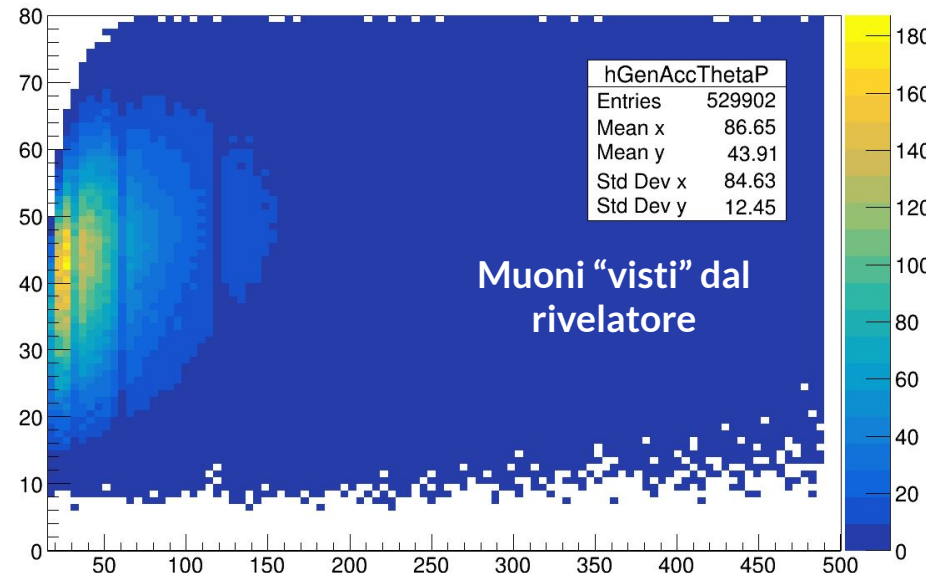
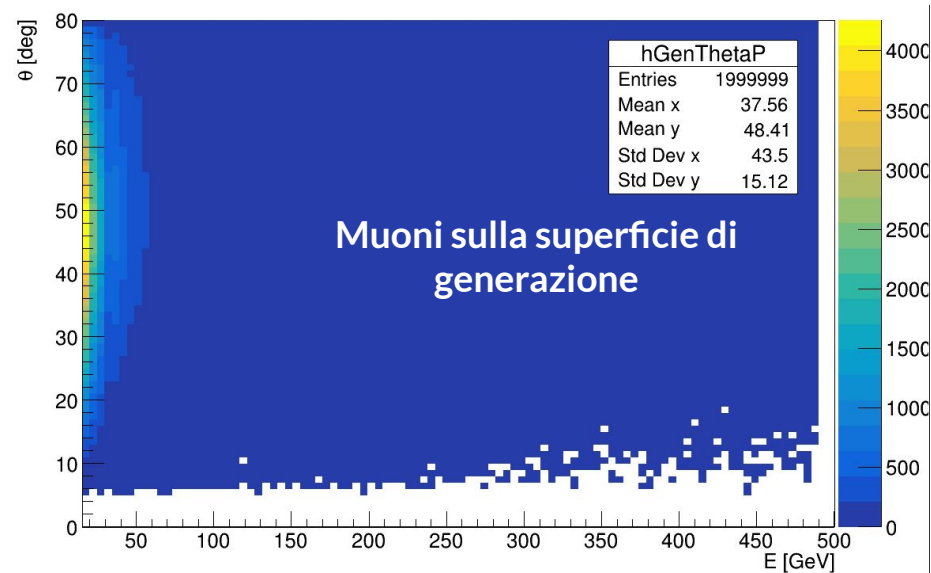
Lorenzo Viliani

GEN Energy



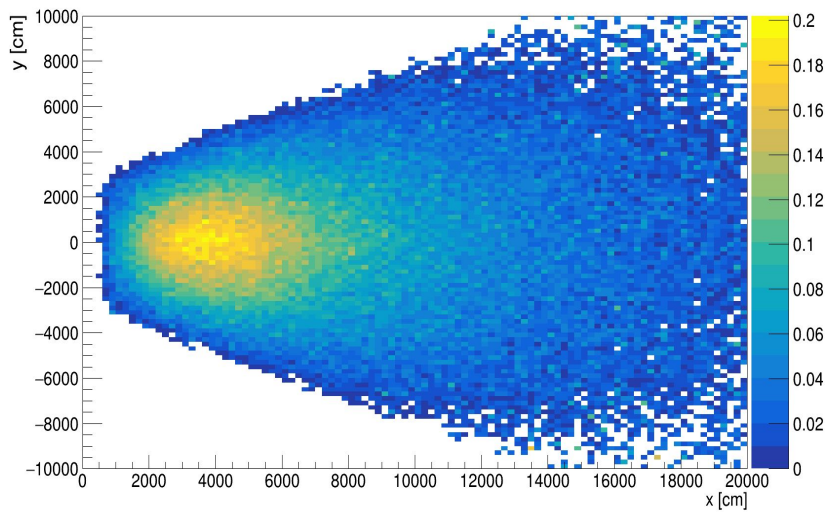
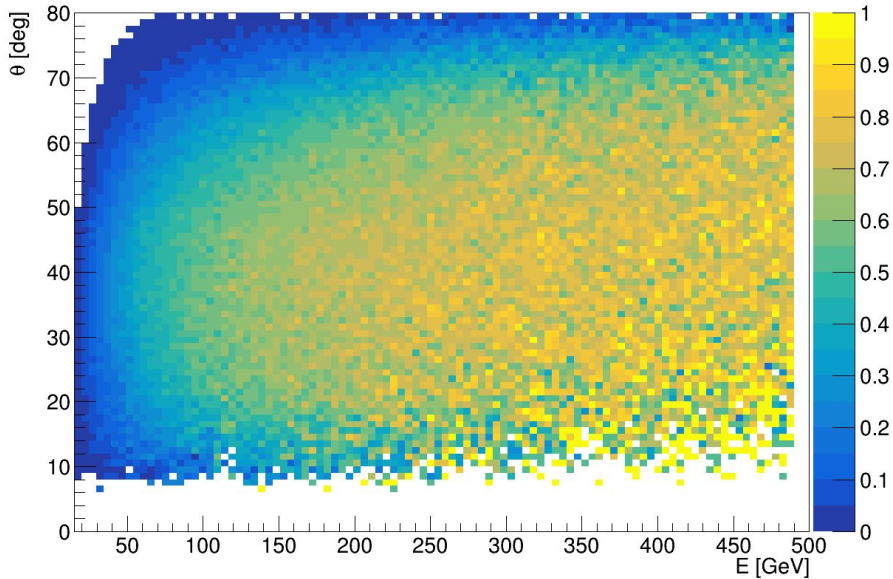
Simulazioni Bilancino

- Range di impulso dei muoni
 - Muoni con $p < 15$ GeV non raggiungono il rivelatore
 - NB: vengono simulati solo i muoni che inizialmente “puntano” nelle vicinanze del rivelatore.
 - Simulazioni in range di impulso per aumentare la statistica nelle code ad alta energia



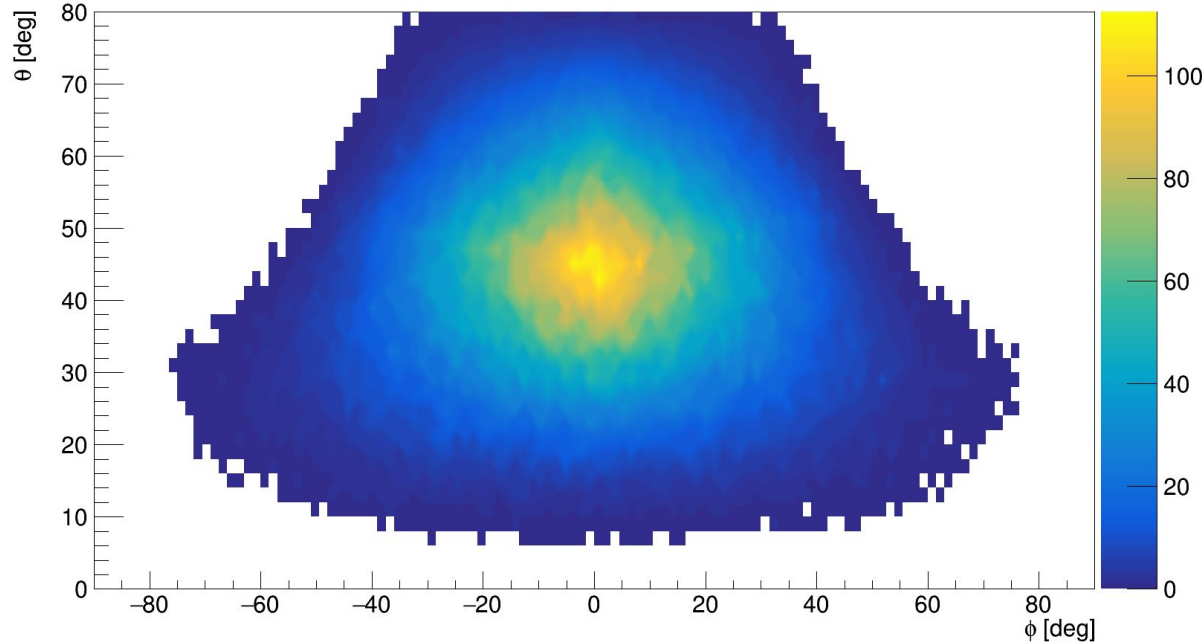
Simulazioni Bilancino

- Efficienze: rapporto fra numero di muoni in accettanza e numero di muoni generati



Simulazioni Bilancino

- Mappa angolare



BACKUP



Repository for MITO software

- Gitlab MITO group
 - <https://baltig.infn.it/mito>
 - If you want to contribute, sign in to baltig.infn.it and I will add you to the group
- Gitlab repository for Geant4 based MC simulations:
 - <https://baltig.infn.it/mito/muraysimulation>
 - Contains software for muon generators, detector simulation, predefined Geant4 useractions, etc. mainly developed by Nicola
- Gitlab repository for the simulation software developed by Massimo and Sandro:
 - <https://baltig.infn.it/mito/mimasw>

Geant4 muon generator - workflow

- Adamo flux ([code](#)):
 - Start from Adamo data and build analytic functions representing the differential flux vs p and θ .
 - Data are represented by 8 analytic functions of diff. flux vs p , one for each θ bin of 10° width (from 0° to 80°).
- Produce text tables ([code](#)):
 - Sampling the above functions we build text tables containing the differential flux at fixed p and θ values (more details in the next slides).
- MC generation ([code](#)):
 - Tables are converted to 2D histograms ($x=p$, $y=\theta$, bin content=differential flux).
 - Histograms are sampled using standard ROOT methods.
- Interface to Geant4 ([code](#))

Details on the first steps

- We start from 8 analytic functions of diff. flux vs p:
 - $\text{Flux}_\theta(p) = A_0 [p + A_1 e^{-A_2 p}]^{-(A_3+A_4)*p^{A_4}}$ for $\theta \in [\theta_i, \theta_j]$
 - NB: different function used by Sandro and Massimo
 - For each θ bin, a different set of parameters A_i ($i=0,1,2,3,4$) is defined (fixed and hardcoded!).
 - Momentum range: 0.1 - 130 GeV
- In order to get the flux at fixed p and θ :
 - For a given p, extract Flux_θ from the 8 functions above -> 8 fluxes at fixed p and different θ ,
 - $\text{Flux}_p(\theta) = (\text{Flux}_{\theta 0}, \text{Flux}_{\theta 1}, \dots, \text{Flux}_{\theta 7})$
 - Fit with $B_0 (\cos(\theta))^{B_1}$ and get the B_0 and B_1 parameters
 - Extract the flux at the desired θ value.